СИНТЕЗ И СВОЙСТВА НЕОРГАНИЧЕСКИХ СОЕЛИНЕНИЙ

УДК 546.82+546.05

ПОЛУЧЕНИЕ ЛЮМИНОФОРА CaTiO₃:Pr³⁺ МЕТОДОМ САМОРАСПРОСТРАНЯЮЩЕГОСЯ ВЫСОКОТЕМПЕРАТУРНОГО СИНТЕЗА

© 2022 г. О. Б. Томилина, Е. Е. Мурюмина, *, М. В. Фадина, С. Ю. Щипакина

^аНациональный исследовательский Мордовский государственный университет им. Н.П. Огарева, ул. Большевистская, 68, Саранск, 430005 Россия

*e-mail: mur_ee@mail.ru
Поступила в редакцию 21.02.2021 г.
После доработки 14.10.2021 г.
Принята к публикации 18.10.2021 г.

Осуществлен самораспространяющийся высокотемпературный синтез образцов люминофора ${\rm CaTiO_3:Pr^{3+}}$ с использованием теплового эффекта реакции взаимодействия титана с перхлоратом натрия. Изучено влияние источника кальция, содержания празеодима, а также соотношения ${\rm Ti/TiO_2}$ в шихте на люминесцентные характеристики синтезированного продукта. Фазовый состав продуктов синтеза определен методом рентгенофазового анализа, люминесцентные свойства охарактеризованы на основании спектров излучения. С помощью энергодисперсионного анализа установлен качественный и количественный состав люминофора.

Ключевые слова: люминофор, самораспространяющийся высокотемпературный синтез, твердофазный синтез

DOI: 10.31857/S0044457X22040195

ВВЕДЕНИЕ

В последнее время большое внимание уделяется разработке химически и термически стабильных, обладающих хорошими светотехническими характеристиками оксидных люминофоров красного свечения, которые приходят на смену традиционным сульфидным [1, 2] и фосфатным [3] люминофорам. Одним из таких перспективных материалов является титанат кальция, активированный Pr^{3+} (CaTiO₃: Pr^{3+}). Впервые о возможности использования CaTiO₃:Pr³⁺ в качестве люминофора красного свечения было сообщено в работе [4]. Хорошая стойкость к электронному облучению высокой плотности и способность поддерживать эффективность люминесценции при длительном воздействии электрического заряда позволяют использовать CaTiO₃:Pr³⁺ в качестве перспективного материала для светодиодных дисплеев, дисплеев на основе полевой эмиссии, плазменных панелей [5].

Люминесцентные свойства CaTiO₃: \Pr^{3+} хорошо изучены (см. работы [6–12]). При воздействии ультрафиолетовым (**УФ**) светом люминофор генерирует красное свечение с длиной волны излучения 612–615 нм. Координаты цветности люминофора (x=0.68, y=0.31) близки к "идеальному красному" [13, 14]. Люминесценция в красной области электромагнитного спектра является ре-

зультатом ${}^{1}D_{2} \rightarrow {}^{3}H_{4}$ электронного перехода в ионах Pr^{3+} под действием УФ-излучения [6, 10]. Расширение области применения люминофора, а также улучшение его светотехнических характеристик возможно путем полной или частичной замены ионов Ca^{2+} на ионы Zn^{2+} [6, 15], Ba^{2+} [16—19], Sr^{2+} [20—23], Ni^{2+} [24] и ионов Ti^{4+} на ионы Al^{3+} [25—27], Ln^{3+} (Ln = La, Lu, Gd) [28], Zr^{3+} [29, 30].

В настоящее время $CaTiO_3$: Pr^{3+} получают в основном методом твердофазного спекания (см. обзор [31]), который является энергозатратным и характеризуется длительностью синтеза. Наноразмерные частицы люминофора $CaTiO_3$: Pr^{3+} , полученные золь—гель методом [32, 33], имеют лучшие светотехнические характеристики по сравнению с люминофором, полученным твердофазным спеканием, однако данный метод сложен в экспериментальном исполнении.

Одним из методов, который в определенной степени лишен указанных выше недостатков, является самораспространяющийся высокотемпературный синтез (**CBC**) [34]. Ранее данным методом были получены люминофоры CaAlSiN₃:Eu²⁺ [35, 36], BaMgAl₁₀O₁₇:Eu²⁺ [37], Y₃Al₅O₁₂:Ce³⁺ [38—40], Zn₂SiO₄:Mn²⁺ [40], YBO₃:Eu³⁺ [40], (Ca,Sr,Ba)Al₂O₄:Eu²⁺ [41]. Самораспространяющий-

ся высокотемпературный синтез люминофоров осуществляется в реакторе при повышенном давлении и в присутствии инертного газа. В работе [42] сообщалось о возможности использования для получения люминофора $CaTiO_3:Pr^{3+}$, Al^{3+} нитратно-цитратного метода горения, который является разновидностью CBC.

Цель настоящей статьи — получение люминофора красного свечения $CaTiO_3$: Pr^{3+} методом CBC на воздухе при атмосферном давлении и исследование его люминесцентных свойств.

ЭКСПЕРИМЕНТАЛЬНАЯ ЧАСТЬ

Синтез люминофора CaTiO₃:Pr³⁺

Для получения $CaTiO_3$: Pr^{3+} методом CBC в качестве компонентов шихты использовали следующие соединения: CaO, CaCO₃, Ti, TiO₂, $Pr(NO_3)_3 \cdot 6H_2O$, $NaClO_4$ марки "х. ч.". Исходные реагенты смешивали в стехиометрическом соот-

ношении в шаровой мельнице, затем полученную шихту насыпной плотности помещали в кварцевую лодочку. Процесс СВС инициировали волной горения вспомогательного состава (смесь $BaO_2 + Al$). После прохождения волны горения продукт реакции охлаждали и измельчали.

Для проведения процесса СВС в данной работе использовали тепловой эффект экзотермической реакции (1) взаимодействия титана с перхлоратом натрия, для которой энтальпия реакции при стандартных условиях составляет —1916 кДж/моль (энтальпию реакции (1) рассчитывали по закону Гесса с учетом $\Delta_f H_{298}^0$ индивидуальных веществ, взятых из [43]):

$$2\text{Ti} + \text{NaClO}_4 \rightarrow 2\text{TiO}_2 + \text{NaCl}.$$
 (1)

Получение конечного продукта можно описать схемой 1, согласно которой кальций вводится в шихту в виде оксида кальция, и схемой 2, где кальций вводится в виде карбоната кальция:

$$(1-1.5y_{1})\text{CaO} + x_{1}\text{Ti} + (1-x_{1})\text{TiO}_{2} + y_{1}\text{Pr}(\text{NO}_{3})_{3} \cdot 6\text{H}_{2}\text{O} + x_{1}/2\text{NaClO}_{4} \rightarrow \\ \rightarrow \text{Ca}_{(1-1.5y_{1})}\text{Pr}_{y_{1}}\text{TiO}_{3} + x_{1}/2\text{NaCl} + \Pi\Pi \\ \text{Схема 1.} \\ (1-1.5y_{2})\text{CaCO}_{3} + x_{2}\text{Ti} + (1-x_{2})\text{TiO}_{2} + y_{2}\text{Pr}(\text{NO}_{3})_{3} \cdot 6\text{H}_{2}\text{O} + x_{2}/2\text{NaClO}_{4} \rightarrow \\ \text{Ca}_{(1-1.5y_{2})}\text{Pr}_{y_{2}}\text{TiO}_{3} + x_{2}/2\text{NaCl} + \Pi\Pi \\ \text{Схема 2.}$$

Сокращение ПП обозначает побочные продукты: N_2 , NO, NO_2 , O_2 , H_2O , CO_2 .

Концентрация редкоземельного элемента в люминофоре может оказывать существенное влияет на его светотехнические характеристики. В связи с этим в схемах 1 и 2 для установления оптимального количества празеодима в люминофоре коэффициенты y_1 и y_2 , отвечающие за содержание Pr в исходной шихте, принимали равными 0.001, 0.002, 0.005, 0.01 и 0.02 моль.

Варьирование стехиометрического соотношения ${\rm Ti/TiO_2}$ в исходной шихте изменяет температуру горения, что дает возможность регулировать процесс образования титаната кальция, активированного празеодимом. При протекании процесса СВС по схеме 1 значение стехиометрического коэффициента x_1 изменяли в интервале от 0.3 до 0.5 моль с шагом 0.05 моль, а по схеме 2 значение стехиометрического коэффициента x_2 изменяли от 0.7 до 0.9 моль с шагом 0.05 моль.

Для сравнения был получен образец люминофора $CaTiO_3$: Pr^{3+} методом твердофазного спекания с содержанием празеодима в исходной шихте 0.002 моль. В этом случае готовили стехиометрическую смесь карбоната кальция, оксида титана и

 $Pr(NO_3)_3 \cdot 6H_2O$, которую смешивали в шаровой мельнице и затем помещали в муфельную печь. Твердофазное спекание проводили при температуре $1000^{\circ}C$ в течение 4 ч в воздушной атмосфере, затем образующийся спек охлаждали и измельчали.

Методика экспериментальных исследований

Температуру горения измеряли вольфрам-рениевыми термопарами (BP 5/20) диаметром 100 мкм. Сигналы от термопар непрерывно регистрировали с помощью четырехканального измерителя температуры Термодат-17.

Фазовый состав продуктов определяли методом рентгенофазового анализа (**РФА**) на рентгеновском дифрактометре Empyrean PANalytical с двухкоординатным детектором PIXcel^{3D}, длина волны излучения $\lambda \text{Cu} K_{\alpha} = 1.5418 \, \text{Å}$, сканирование θ –2 θ . Фазовый анализ проводили с использованием пакета обработки данных HighScore Plus и базы данных международного центра дифракционных данных ICDD PDF-2 (ICDD – International Centre for Diffraction Data; PDF – powder diffraction file).

Рентгеновский микроанализ и элементное картирование образцов проводили с использова-

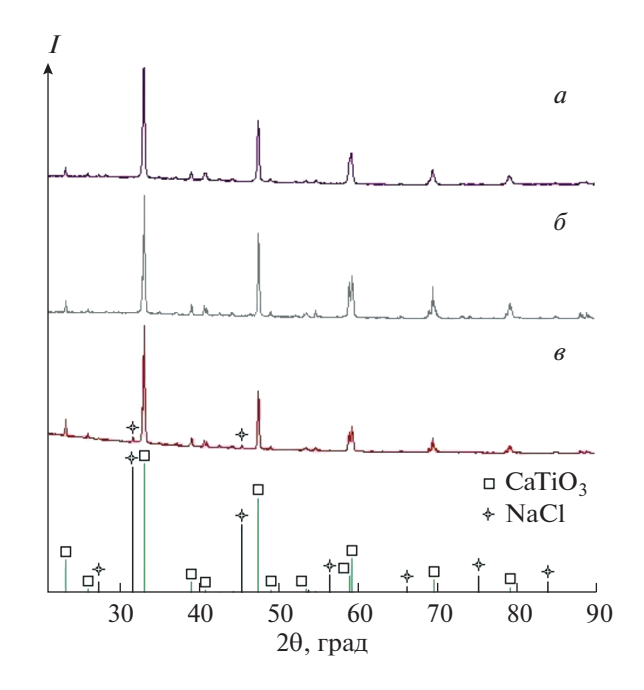


Рис. 1. Рентгенограммы образцов люминофора $CaTiO_3:Pr^{3+}$, полученного методом твердофазного спекания (*a*) и методом CBC по схеме 1 при введении кальция в шихту в виде оксида кальция и соотношении Ti : $TiO_2 = 0.3 : 0.7$ (*б*) и по схеме 2 при введении кальция в шихту в виде карбоната кальция при соотношении Ti : $TiO_2 = 0.7 : 0.3$ (*в*).

нием многофункционального растрового электронного микроскопа с интегрированной системой фокусированного ионного пучка Quanta 200 і 3D FEI со встроенным энергодисперсионным кремниевым дрейфовым детектором Apollo X.

Спектры фотолюминесценции были получены с использованием спектрофлуориметра RF-5301 PC (Shimadzu). В качестве источника возбуждения люминесценции использовали Хелампу мощностью 150 Вт.

РЕЗУЛЬТАТЫ И ОБСУЖДЕНИЕ

На рис. 1 представлены рентгенограммы образцов люминофора CaTiO₃:Pr³⁺, полученного методами CBC и твердофазного спекания, которые сравнивали с рентгенограммами эталонных образцов из базы данных PDF-2. Как видно из рисунка, однофазный продукт образуется при получении люминофора методом твердофазного спекания и CBC по схеме 1. При введении кальция в шихту в виде карбоната кальция в конечном продукте присутствует хлорид натрия, образующийся при разложении перхлората натрия.

В процессе получения образцов по схемам 1 и 2 с помощью вольфрам-рениевой термопары были измерены максимальные температуры горения. При протекании СВС по схеме 1 температура горения достигала 1481°С, по схеме 2 — 1439°С. Поскольку при получении CaTiO₃:Pr³⁺ по схеме 1 достигается температура, превышающая темпе-

ратуру кипения хлорида натрия ($t_{\text{кип}}(\text{NaCl}) = 1465^{\circ}\text{C}$), NaCl полностью испаряется, и в итоге образуется однофазный продукт. При получении CaTiO₃:Pr³⁺ по схеме 2 температура горения немного ниже, поэтому в конечном продукте обнаруживаются следы хлорида натрия.

На рис. 2 представлены результаты энергодисперсионного анализа (**EDS**) и элементное картирование однофазных образцов люминофора CaTiO₃:Pr³⁺, полученных методами твердофазного спекания и CBC по схеме 1. Как видно из рисунка, частицы люминофора имеют хорошую кристалличность, а элементы Ca, Ti, O и Pr, входящие в состав образцов, однородно распределены. Содержание элементов в образцах приведено в табл. 1. Результаты были получены усреднением измерений в 15 точках каждого образца. Согласно

Таблица 1. Содержание элементов (мас. %), по данным EDS-анализа, в образцах люминофора $CaTiO_3:Pr^{3+}$, полученного методом твердофазного спекания и методом CBC по схеме 1

Метод	0	Ca	Ti	Pr
Твердофазное спекание	35.2	30.5	34.1	0.2
СВС по схеме 1	37.9	30.2	31.7	0.2

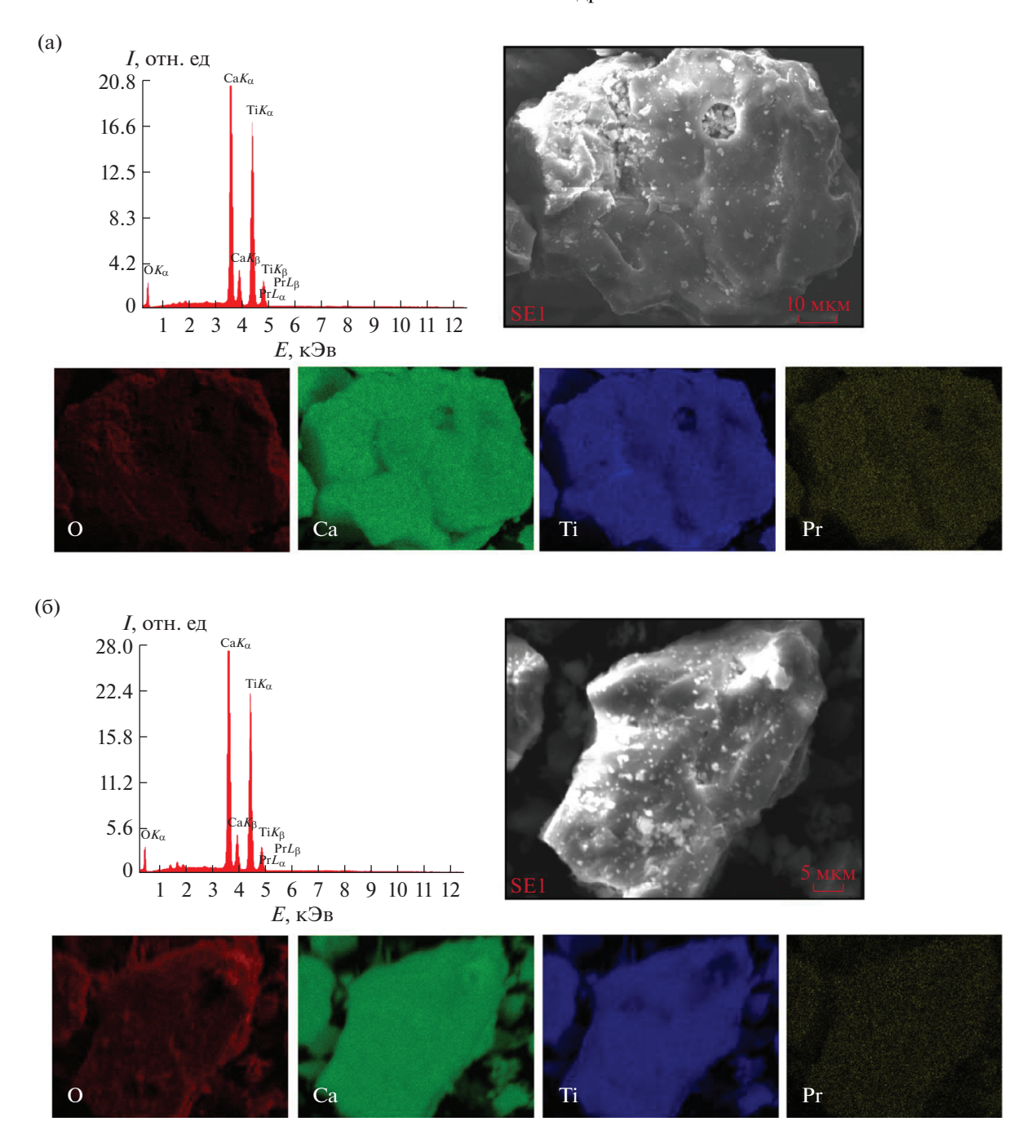


Рис. 2. Спектры EDS и элементное картирование образцов люминофора $CaTiO_3$: Pr^{3+} , полученного методом твердофазного спекания (а) и методом CBC по схеме 1 (б).

данным таблицы, содержание празеодима в люминофоре $CaTiO_3$: Pr^{3+} , полученном методом твердофазного спекания и методом CBC по схеме 1, составляет 0.2 мас. %, что при пересчете соответствует \sim 0.002 моль.

Для всех синтезированных образцов люминофора $CaTiO_3$: Pr^{3+} были сняты спектры излучения люминесценции при длине волны возбуждения

330 нм. Максимум излучения люминесценции наблюдается при длине волны 614 нм, что соответствует длине волны излучения красного люминофора $CaTiO_3$: Pr^{3+} [11].

На рис. 3 представлены спектры излучения люминофора $CaTiO_3$: Pr^{3+} , полученного методом СВС по схемам 1 и 2, в зависимости от содержания празеодима в исходной шихте. Независимо

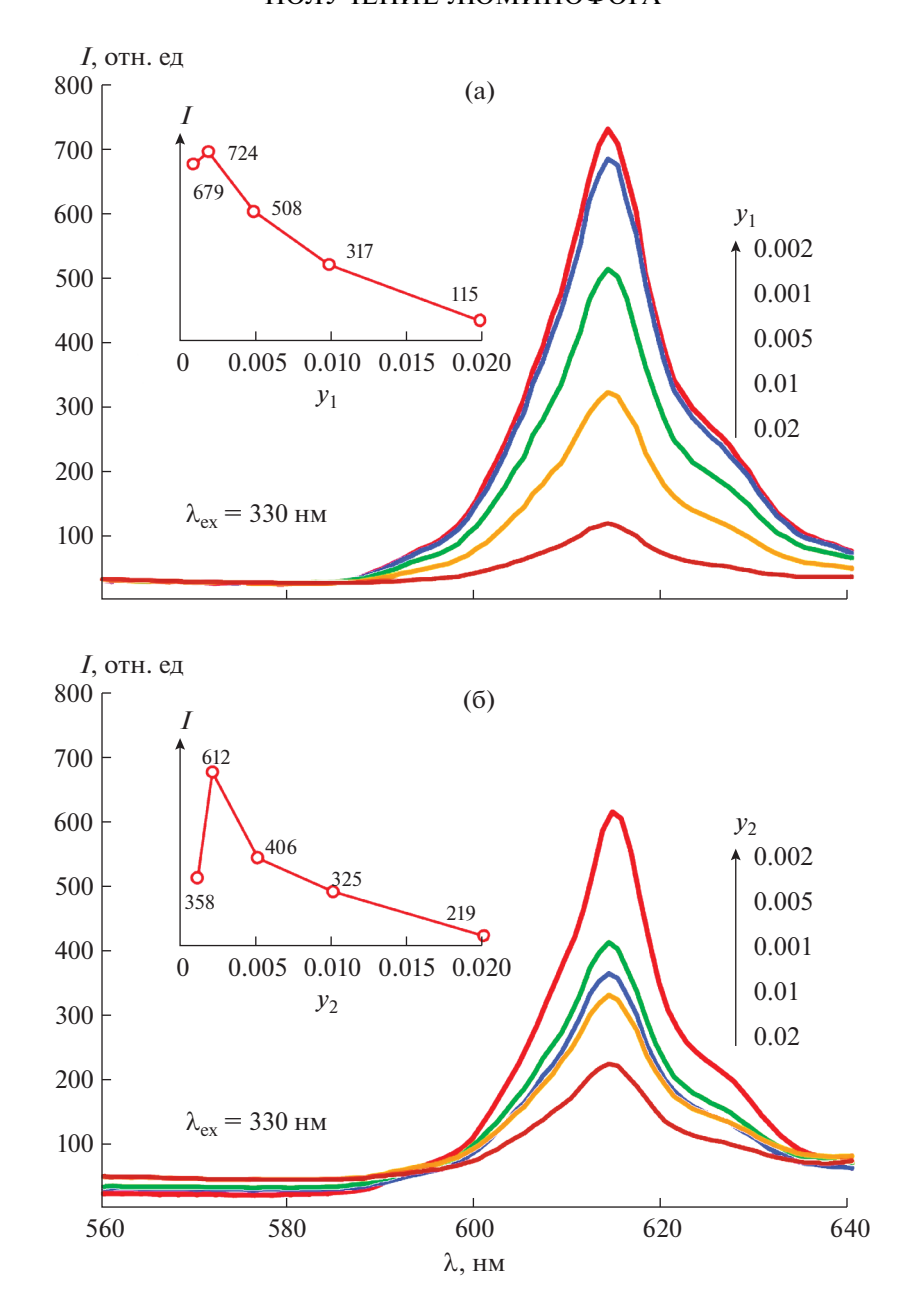


Рис. 3. Спектры излучения люминофора CaTiO₃: Pr^{3+} , полученного методом CBC по схемам 1 (а) и 2 (б) в зависимости от содержания $Pr(y_1 \mid y_2)$ в исходной шихте. На вставках показана зависимость интенсивности пика излучения при 614 нм от содержания $Pr(y_1 \mid y_2)$ в исходной шихте.

от источника введения кальция, максимальная интенсивность излучения соответствует количеству празеодима в шихте, равному 0.002 моль. При увеличении содержания празеодима выше указанного значения быстро происходит концентрационное тушение люминесценции. Полученный результат хорошо согласуется с выводами, сделанными в работе [12].

На рис. 4 представлены спектры возбуждения люминофора $CaTiO_3$: Pr^{3+} , полученного методом

твердофазного спекания, а также методом СВС по схемам 1 и 2, с оптимальным содержанием празеодима 0.002 моль. Спектр возбуждения содержит два широких пика, которые располагаются при 330 (А) и 370 нм (Б). Как было показано в [10], пик А возникает вследствие перехода электронов в матрице из валентной зоны в зону проводимости (Ti^{4+} – O^{2-} \rightarrow Ti^{3+} – O^{-}), а пик Б – в результате межвалентного переноса заряда (Ti^{4+} –O– Pr^{3+} \rightarrow Ti^{3+} –O– Pr^{4+}). Спектр возбуждения лю-

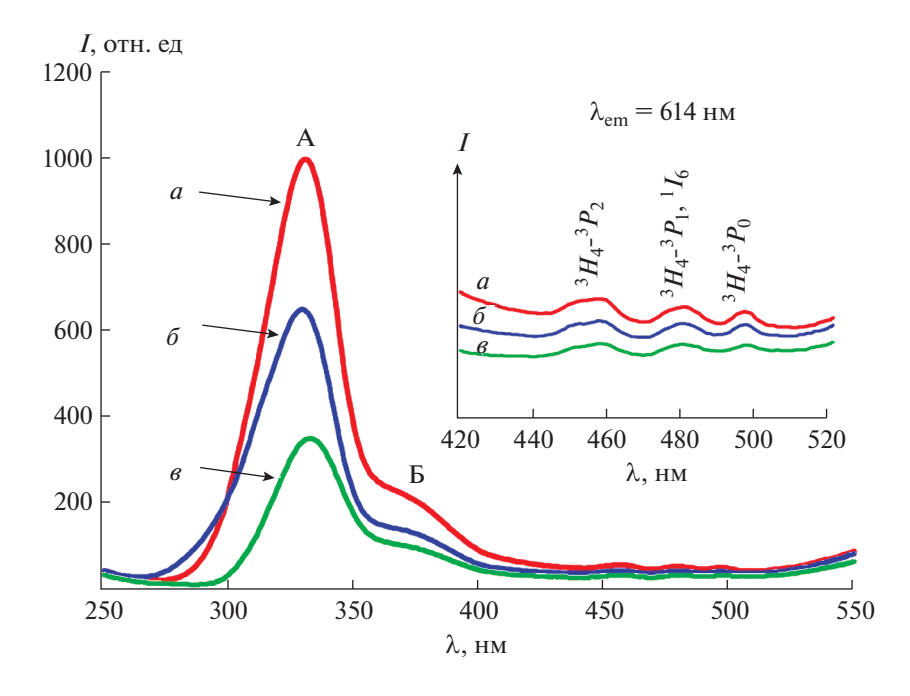


Рис. 4. Спектры возбуждения люминофора $CaTiO_3$: Pr^{3+} , полученного методом CBC по схемам 1 (*a*) и 2 (*б*), а также методом твердофазного спекания (*в*). На вставке показан увеличенный участок спектра возбуждения в интервале от 420 до 520 нм.

минофора CaTiO₃:Pr³⁺ также содержит группу небольших пиков (см. вставку на рис. 4) при 458, 480 и 495 нм, которые соответствуют переходам 3H_4 — 3P_2 , 3H_4 — 3P_1 , 1I_6 и 3H_4 — 3P_0 празеодима [10].

На рис. 5 представлены спектры излучения люминофора CaTiO₃:Pr³⁺, полученного методом СВС по схемам 1 и 2, с различным содержанием Ті в исходной шихте, а также люминофора, полученного методом твердофазного спекания, с оптимальным содержанием празеодима 0.002 моль. Как видно из рисунка, независимо от источника введения кальция в состав синтезируемого люминофора, при увеличении содержания Ті в шихте наблюдалось уменьшение относительной интенсивности люминесценции. Максимальная интенсивность излучения люминесценции соответствовала стехиометрическому соотношению Ті/ТіО₂, равному 0.3: 0.7 при использовании оксида кальция и 0.7: 0.3 при использовании карбоната кальция. При дальнейшем уменьшении содержания титана в шихте процесс СВС инициировать не удалось. Интенсивность излучения образцов люминофора, полученных по схеме 1, выше, чем образцов, полученных по схеме 2. Причиной этого может быть более высокая температура, достигаемая в случае синтеза люминофора по схеме 1 сравнению с синтезом по схеме 2, а это способствует формированию более совершенной кристаллической структуры люминофора CaTiO₃: Pr³⁺. Из рис. 5 также видно, что интенсивность люминесценции люминофора, полученного методом СВС, выше, чем люминофора, полученного методом твердофазного спекания.

ЗАКЛЮЧЕНИЕ

Методом самораспространяющегося высокотемпературного синтеза получен люминофор СаТіO₃:Pr³⁺ красного свечения. Методом РФА установлено, что однофазный продукт образуется при использовании в качестве компонента шихты оксида кальция. При введении в шихту карбоната кальция помимо основной фазы присутствует хлорид натрия. Методом EDS-анализа исследован качественный и количественный состав люминофора. Усредненное содержание празеодима в образцах люминофора, полученных методом твердофазного спекания и методом СВС при использовании в качестве компонента шихты оксида кальция, составляет 0.2 мас. %. Установлено, что максимальная интенсивность излучения соответствует концентрации празеодима в люминофоре, равной 0.002 моль. Независимо от источника кальция в шихте, при увеличении содержания Ті в шихте наблюдалось уменьшение интенсивности люминесценции образцов люминофора. Оптимальное стехиометрическое соотношение Ti/TiO₂ при использовании в шихте оксида кальция равно 0.3: 0.7, а при использовании карбоната кальция -0.7:0.3.

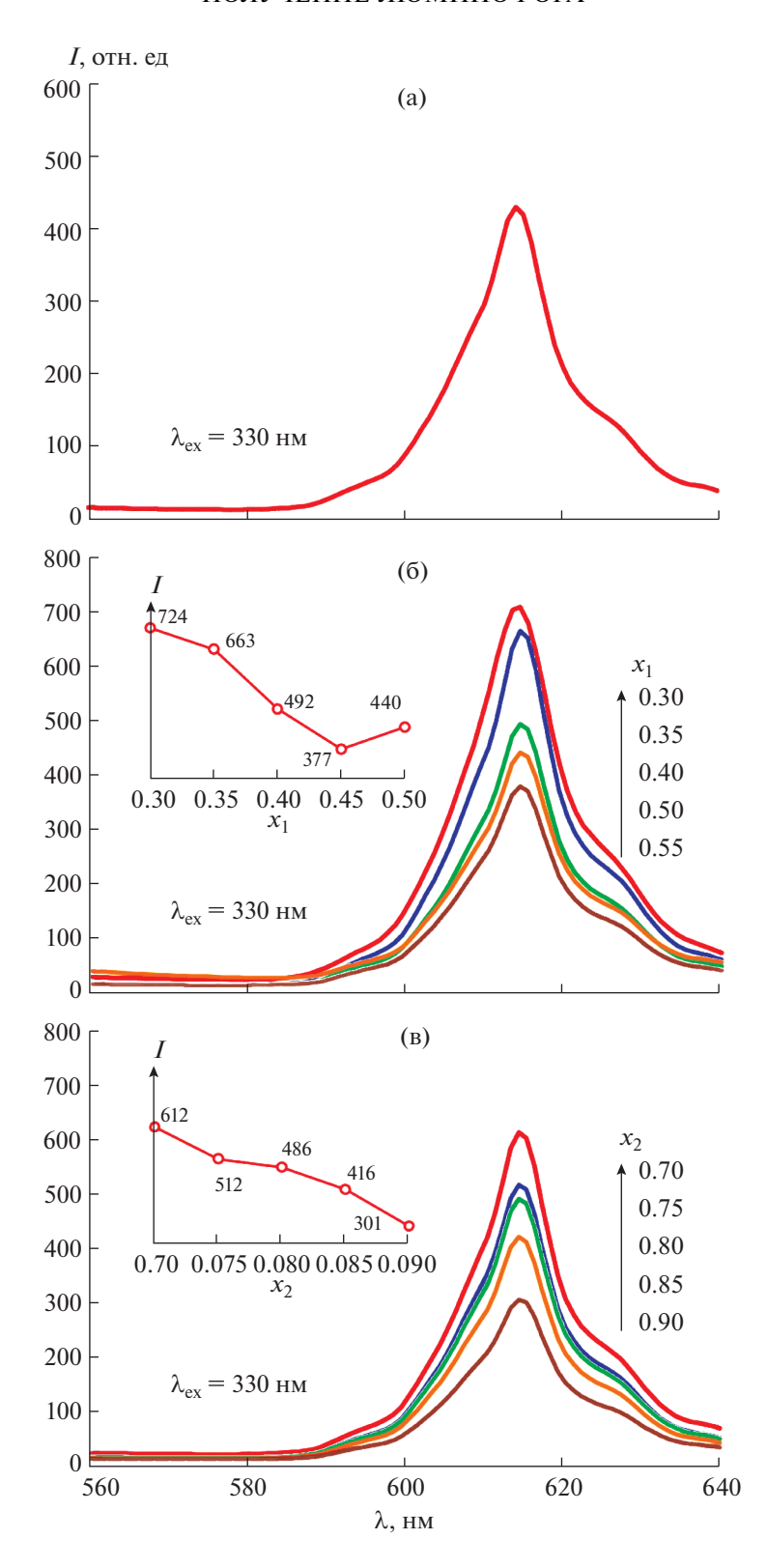


Рис. 5. Спектры излучения люминофора CaTiO₃: \Pr^{3+} , полученного методом твердофазного спекания (a), а также люминофора, полученного методом CBC по схемам 1 (б) и 2 (в) в зависимости от содержания Ti $(x_1$ и x_2) в исходной шихте. На вставках показана зависимость интенсивности пика излучения при 614 нм от содержания Ti $(x_1$ и x_2) в исходной шихте.

КОНФЛИКТ ИНТЕРЕСОВ

Авторы заявляют, что у них нет конфликта интересов.

СПИСОК ЛИТЕРАТУРЫ

- 1. *Thiyagarajan P., Kottaisamy M., Sethupathi R., Rao M.S.R.* // Displays. 2009. V. 30. № 4–5. P. 202. https://doi.org/10.1016/j.displa.2009.08.001
- 2. *Ohnishi H.* // Annu. Rev. Mater. Sci. 1989. V. 19. P. 83. https://doi.org/10.1146/annureV.ms.19.080189.000503
- 3. *Steblevskaya N.I., Belobeletskaya M.V., Ustinov A.Yu., Medkov M.A.* // Russ. J. Inorg. Chem. 2019. V. 64. № 2. P. 179. https://doi.org/10.1134/S0036023619020219
- 4. Vecht A., Smith D.W., Chadha S.S., Gibbons C.S. // J. Vac. Sci. Technol., B. 1994. V. 12. № 2. P. 781. https://doi.org/10.1116/1.587346
- Takashima H., Shimada K., Miura N., et al. // Adv. Mater. 2009. V. 21. № 36. P. 3699. https://doi.org/10.1002/adma.200900524
- 6. *Haranath D., Khan A.F., Chander H.* // J. Phys. D. 2006. V. 39. № 23. P. 4656. https://doi.org/10.1088/0022-3727/39/23/009
- 7. *Diallo P.T., Boutinaud P., Mahiou R., Cousseins J.C.* // Phys. Status Solidi A: Appl. Res. 1997. V. 160. № 1. P.255. https://doi.org/10.1002/1521-396X(199703)160:1<255::AID-PSSA255>3.0.CO;2-Y
- 8. *Tang W., Chen D.* // J. Am. Ceram. Soc. 2007. V. 90. № 10. P. 3156. https://doi.org/10.1111/j.1551-2916.2007.01929.x
- 9. *Zhang X., Zhang J., Ren X., Wang X.-J.* // J. Solid State Chem. 2008. V. 181. № 3. P. 393. https://doi.org/10.1016/j.jssc.2007.11.022
- 10. *Boutinaud P., Pinel E., Dubois M. et al.* // J. Lumin. 2005. V. 111. № 1–2. P. 69. https://doi.org/10.1016/j.jlumin.2004.06.006
- 11. *Zhang X., Zhang J., Wang M. et al.* // J. Lumin. 2008. V. 128. № 5–6. P. 818. https://doi.org/10.1016/j.jlumin.2007.12.010
- 12. *Nag Bhargavi G., Khare A.* // Opt. Spectrosc. 2015. V. 118. № 6. P. 902. https://doi.org/10.1134/S0030400X15060156
- 13. *Shionoya S., Yen W.M.* Phosphor Handbook. Boca Raton: CRC Press, 1999.
- 14. Chadha S.S., Smith D.W., Vecht A., Gibbons C.S. // SID Digest. 1994. V. 1. P. 51.
- 15. *Yu L., Xia M., Chen X. et al.* // J. Mater. Res. 2013. V. 28. № 18. P. 2590. https://doi.org/10.1557/jmr.2013.225
- Okamoto S., Yamamoto H. // J. Appl. Phys. 2002. V. 91.
 № 8. P. 5492. https://doi.org/10.1063/1.1458050

- 17. *Fukuda D., Takebe H., Kuwabara M.* // J. Am. Ceram. Soc. 2007. V. 90. № 8. P. 2670. https://doi.org/10.1111/j.1551-2916.2007.01811.x
- 18. *Kang S.Y., Kim Y.H., Moon J. et al.* // Jpn. J. Appl. Phys. 2009. V. 48. № 5R. P. 052301. https://doi.org/10.1143/JJAP.48.052301
- 19. *Wang X., Xu C.N., Yamada H. et al.* // Adv. Mater. 2005. V. 17. № 10. P. 1254. https://doi.org/10.1002/adma.200401406
- 20. *Okamoto S., Yamamoto H.* // J. Lumin. 2003. V. 102—103. P. 586. https://doi.org/10.1016/S0022-2313(02)00591-4
- Okamoto S., Yamamoto H. // Appl. Phys. Lett. 2001.
 V. 8. № 5. P. 655.
 https://doi.org/10.1063/1.1343491
- 22. *Kim J.S.*, *Choi J.H.*, *Cheon IIC.*, *Byun J.D.* // Ceram. Int. 2004. V. 30. № 7. 2029. https://doi.org/10.1016/j.ceramint.2003.12.200
- 23. *Wang X., Xu C.N., Yamada H.* // Jpn. J. Appl. Phys. 2005. V. 44. № 28–32. P. L912. https://doi.org/10.1143/JJAP.44.L912
- Chen R., Gao Y., Gao Y. // Solid State Sci. 2019. V. 89.
 P. 161. https://doi.org/10.1016/j.solidstatesciences.2019.01.006
- Jia W., Jia D., Rodriguez T. et al. // J. Lumin. 2006.
 V. 119–120. P. 13. https://doi.org/10.1016/j.jlumin.2005.12.067
- 26. *Yin S.Y., Chen D.H., Tang W.J.* // J. Alloys Compd. 2007. V. 441. № 1–2. P. 327. https://doi.org/10.1016/j.jallcom.2006.09.120
- 27. *Tang J., Yu X., Yang L. et al.* // Mater. Lett. 2006. V. 60. № 3. P. 326. https://doi.org/10.1016/j.matlet.2005.08.047
- 28. Zhang X.M., Zhang J.H., Zhang X. et al. // Chem. Phys. Lett. 2007. V. 434. № 4–6. P. 237. https://doi.org/10.1016/j.cplett.2006.12.023
- 29. *Yan B., Zhou K.* // J. Alloys Compd. 2005. V. 398. № 1–2. P. 165. https://doi.org/10.1016/j.jallcom.2004.08.109
- 30. *Zhang J.C., Wang X.S., Yao Y.* // J. Alloys Compd. 2010. V. 498. № 2. P. 152. https://doi.org/10.1016/j.jallcom.2010.03.138
- 31. *Kaur J., Dubey V., Parganiha Y. et al.* // Res. Chem. Intermed. 2015. V. 41. № 6. P. 3597. https://doi.org/10.1007/s11164-013-1475-7
- 32. *Diallo P.T., Jeanlouis K., Boutinaud P. et al.* // J. Alloys Compd. 2001. V. 323–324. P. 218. https://doi.org/10.1016/S0925-8388(01)01115-X
- 33. *Meroni D., Porati L., Demartin F., Poelman D.* // ACS Omega. 2017. V. 2. № 8. P. 4972. https://doi.org/10.1021/acsomega.7b00761
- 34. Pat. US 3726643 (publ. 1973). Synthesis of refractory inorganic compounds.
- 35. *Chung S.-L.*, *Huang S.-C.* // Materials. 2014. V. 7. № 12. P. 7828. https://doi.org/10.3390/ma7127828

- 36. *Chung S.-L., Huang S.-C.* // Materials. 2016. V. 9. № 3. P. 178. https://doi.org/10.3390/ma9030178
- 37. *Won C.W.*, *Nersisyan H.H.*, *Won H.I. et al.* // J. Lumin. 2010. V. 130. № 4. P. 678. https://doi.org/10.1016/j.jlumin.2009.11.017
- 38. Won C.W., Nersisyan H.H., Won H.I., Youn J.W. // J. Lumin. 2010. V. 131. № 10. P. 2174. https://doi.org/10.1016/j.jlumin.2011.05.029
- 39. *Ohyama J., Zhu C., Saito G. et al.* // J. Rare Earths. 2018. V. 36. № 3. P. 248. https://doi.org/10.1016/j.jre.2017.06.014

- 40. *Nersisyan H.H., Won H.I., Won C.W. et al.* // Chem. Eng. J. 2012. V. 198. P. 449. https://doi.org/10.1016/j.cej.2012.05.085
- 41. *Sathaporn T., Niyomwas S.* // Energy Procedia. 2011. V. 9. P. 410. https://doi.org/10.1016/j.egypro.2011.09.045
- 42. *Li S., Liang X.* // J. Mater. Sci: Mater. Electron. 2008. V. 19. P. 1147. https://doi.org/10.1007/s10854-007-9502-3
- 43. Лидин Р.А., Андреева Л.Л., Молочко В.А. Константы неорганических веществ: справочник. М.: Дрофа, 2006.